

# 可变精度粗糙集 $\beta$ 值的增量计算<sup>\*</sup>)

吉阳生 商琳

(南京大学计算机软件新技术国家重点实验室 南京大学计算机科学与技术系 南京 210093)

**摘要** 目前对于可变精度粗糙集中变精度参数  $\beta$  计算的研究,主要集中在非增量方面。当处理大量数据时,需要能够动态计算的方法,本文提出了一种增量计算  $\beta$  值的方法 ICObeta。该方法以分类质量作为确定性度量的标准,以最大确定性度量为目标,来选取合适的  $\beta$  值。ICObeta 相比于非增量的方法,具有动态增量和计算开销显著降低的优点,并通过实验证实了增量计算的优点。

**关键词** 可变精度粗糙集,分类质量,属性模式

## Incremental Computation of Variable Precision Value in Variable Precision Rough Set

Ji Yang-Sheng SHANG Lin

(National Key Laboratory for Novel Software Technology, Nanjing University, Department of Computer Science and Technology, Nanjing University, Nanjing 210093)

**Abstract** The present research on computation of variable precision value  $\beta$  in variable precision rough set mainly focuses on non-incremental algorithms. This paper proposes an incremental algorithm-ICObeta which performs better on dynamic computation with the low computational cost. Theoretical analysis and experiments are shown in the paper.

**Keywords** Variable precision rough set, Quality of classification, Attribute pattern

### 1 引言

粗糙集理论 RST(Rough Set Theory)20 世纪 80 年代由 Pawlak<sup>[1]</sup> 提出。1990 年前后,粗糙集在模式识别、机器学习等领域已成功应用,产生了很多新的理论扩展和应用<sup>[2]</sup>。Ziarko<sup>[3]</sup> 提出了一种称为可变精度粗糙集 VPRS (Variable Precision Rough Set) 的模型,引入了一个参数  $\beta(0 \leq \beta < 0.5)$ ,将原来严格的集合包含关系,放宽到  $\beta$  所定义的程度。

VPRS 在应用中,参数  $\beta$  的处理一般是基于领域知识赋值。一方面,某些特定场合,甚至领域专家都很难给  $\beta$  确定一个合适的值;另一方面,基于领域知识的赋值,是否比从信息表计算更符合应用要求,这个问题有很多学者在研究。Beynon<sup>[4]</sup> 研究了  $\beta$  的不同取值对于最终的约简结果和分类质量的影响。在规则生成的应用中, Su<sup>[5]</sup> 把 VPRS 模型和一种神经网络模型相对照,得到的结果和神经网络相当;并且提出了一种新的计算  $\beta$  值的方法,该方法完全基于信息表,不需要额外的先验知识。Cheng<sup>[6]</sup> 阐述了确定性度量的概念,提出了一种估算和计算  $\beta$  值的方法,并且用试验说明了  $\beta$  的选取对于约简结果和信息表确定性度量的影响。这些研究表明,通过满足信息表最大确定性度量的要求,能够得到一个符合实际应用的  $\beta$ ,这样可以最大程度地减小因先验知识不足和选择  $\beta$  不合适所带来的影响。

目前对于  $\beta$  值计算的研究主要集中在以上几个方面,但是处理大量数据的动态增量方法尚未出现。本文提出了一种动态增量计算  $\beta$  值的方法:以分类质量作为确定性度量的标准,以最大分类质量为目标,来选取合适的  $\beta$  值,基于此提出了一种增量计算的方法 ICObeta;本文提出的定理 3.1 能够

保证 ICObeta 选取的  $\beta$  值满足最大确定性度量的要求;实验说明了 ICObeta 是一种正确、高效的  $\beta$  值选取方法,并且体现出了 ICObeta 的优点:(1) ICObeta 是一种增量的方法。当前关于参数  $\beta$  计算的研究主要还是非增量的,但是当海量数据不断产生的时候,将所有历史数据都读入内存进行计算的方法就不合适了,这时候 ICObeta 增量特性可以解决这些问题;(2) ICObeta 的计算开销比较小。通过分析,可以看出它的时间复杂度是  $O(n \log n)$ ;在实验中也可以看出,相比于 Su<sup>[5]</sup> 中的方法,ICObeta 的累积计算开销只有不到 50%。

本文第 2 部分介绍 VPRS 模型;第 3 部分介绍 Su<sup>[5]</sup> 计算  $\beta$  的基本思想,并且提出定理;第 4 部分介绍 ICObeta 算法,分析时间复杂度;第 5 部分通过实验的对比,说明 ICObeta 算法的正确性和高效性。

### 2 VPRS 模型

#### 2.1 信息表 S

VPRS 的操作对象是知识表(亦称信息表),一个信息表  $S$  通常定义为:  $S = \langle U, A, V, f \rangle$ 。其中  $U$  代表非空对象集合;  $A$  代表对象的所有属性的集合,并且  $A = C \cup D, C \cap D = \emptyset$ ,其中  $C$  是非空条件属性集合,  $D$  是非空决策属性集合;  $V$  代表所有属性取值集合,定义为:  $V = \bigcup_{a \in A} V_a$ ,  $f$  是作用于信息表的函数,定义为:  $f(u_i, a) \in V_a$ ,其中对于任意的  $u_i \in U, a \in A$  成立。

#### 2.2 $\beta$ 上近似和 $\beta$ 下近似

在 Pawlak 的粗糙集理论(RST)中,对于一个信息表,可以定义对象集合  $U$  上面的等价关系。

**定义 2.1** 等价关系  $R_A$ :

<sup>\*</sup> 本文得到国家自然科学基金(No. 60503022)的资助。吉阳生 硕士,研究方向是 Rough 集和数据挖掘;商琳 副教授,研究方向是人工智能,软计算和 Rough 集。

$$R_A = \{(u_i, u_j) \mid \forall a \in A, f(u_i, a) = f(u_j, a)\}$$

基于等价关系  $R_A$ , 可以得到等价类集合  $E(A) = U/R_A = \{E_1, E_2, \dots, E_n\}$ 。

可变精度粗糙集理论 (VPRS) 对于上、下近似的定义引入了参数  $\beta$ 。在 Ziarko<sup>[3]</sup> 中, 取值范围定义在  $[0, 0.5)$ ; 而 An<sup>[7]</sup> 和 Beynon<sup>[4]</sup> 认为, 取值的范围定义在  $(0.5, 1]$ 。本文中的  $\beta$  定义为对象正确分类的比例, 取值在  $(0.5, 1]$ 。Slezak<sup>[8]</sup> 定义了 VPRS 理论下,  $\beta$  下近似和  $\beta$  上近似。

**定义 2.2** 集合  $X \subseteq U$  基于属性集  $B \subseteq C$  的  $\beta$  下近似和  $\beta$  上近似分别为:

$$\begin{aligned} \underline{B}_\beta(X) : \underline{B}_\beta(X) &= \bigcup_{P(X|E_i) \geq \beta} \{E_i \in E(B)\}, \\ \overline{B}_\beta(X) : \overline{B}_\beta(X) &= \bigcup_{P(X|E_i) > 1-\beta} \{E_i \in E(B)\}. \end{aligned}$$

### 3 基于信息表 $\beta$ 值非增量算法

Su<sup>[5]</sup> 提出了一种不需要基于先验知识的计算  $\beta$  值非增量算法的思想, 通过计算所有  $C_i$  对于  $D_j$  的分类错误率 (其中  $C_i \in E(C), D_j \in E(C)$ ), 在这些分类错误率中选取最接近阈值 0.5 的错误率作为  $\beta$  的取值 (Su<sup>[5]</sup> 中  $\beta$  定义在  $[0, 0.5)$ )。为了与上文的假设一致, 我们在下面的叙述中, 将分类错误率用分类正确率重新定义, 使得  $\beta$  定义在  $(0.5, 1]$ 。

**定义 3.1**  $X$  对于  $Y$  分类正确率  $C(X, Y)$ :

$$C(X, Y) = \begin{cases} \frac{\text{card}(X \cap Y)}{\text{card}(X)} & \text{if } \text{card}(X) > 0 \\ 0 & \text{if } \text{card}(X) = 0 \end{cases}$$

其中, 集合  $X \subseteq U, Y \subseteq U$ 。

基于定义 3.1 和 Su<sup>[5]</sup> 中的 3.1, 我们给出定理 3.1:

**定理 3.1** 当  $\beta$  取值为  $\xi(C, D)$  时, 信息表  $S$  条件属性集合  $C$  对于决策属性集合  $D$  分类质量达到最大。证明从略。

综上所述, 当  $\beta$  取值为  $\xi(C, D)$  时, 信息表  $S$  条件属性集合  $C$  对于决策属性集合  $D$  分类质量达到最大。这就证明了 Beynon<sup>[4]</sup> 中,  $\beta$  取值和信息表分类质量关系的正确性。

### 4 $\beta$ 值增量计算

#### 4.1 属性模式

对于一个信息表  $S = \langle U, A, V, f \rangle$ , 每个  $E_i$  表示在属性集合  $A$  上取值都相同的对象的集合。和等价类概念相对应, 属性模式同样描述了对于对象的划分能力。在 Inuiguchi 和 Miyajima<sup>[9]</sup> 中形式化的定义属性模式:

**定义 4.1**

$$\text{Inf}_A(u) = \bigcup_{a \in C \cup D} \{ \langle a, f(u, a) \rangle \}, \text{ 其中 } u \in U$$

同样, 条件属性模式 (condition attribute pattern):  $\text{Inf}_C(u) = \bigcup_{a \in C} \{ \langle a, f(u, a) \rangle \}$ , 决策属性模式 (decision attribute pattern):  $\text{Inf}_D(u) = \bigcup_{a \in D} \{ \langle a, f(u, a) \rangle \}$ 。实际上, 属性模式和等价类是一一对应的。

#### 4.2 属性模式的排序

在定义属性模式的序之前, 介绍构造可排序的属性模式 (Ordering attribute pattern) 的算法。假设信息表的属性是有顺序的:  $A_i \in A, A_1 = c_1, \dots, A_{|C|} = c_{|C|}, A_{|C|+1} = d_1, \dots, A_{|C|+|D|} = d_{|D|}$ 。

<sup>1)</sup>  $A_{op} = \{OCAP, ODAP, O_{cap}, O_{dap}\}$

OCAP: Ordered Condition Attribute Pattern; ODAP: Ordered Decision Attribute Pattern;  $O_{cap}$ : Order of Condition Attribute Pattern;  $O_{dap}$ : Order of Decision Attribute Pattern;

下面给出构造可排序属性模式的算法 OrderAttribute:

**算法: OrderAttribute**

输入: 信息表  $S = \langle U, A, V, f \rangle$   
输出: 信息表  $S' = \langle U', A, V', f' \rangle$   
步骤:

Step0: 初始化  $S' = S$ ;  
Step1: 对于所有属性, 重复 Step2 到 Step4;  
Step2: 如果,  $S, A_i$  取值是连续型的数值,  $S' = \text{discrete}(S)$ , 转 Step3;  
Step3: 如果  $S, A_i$  取值是离散型数值, 则转 Step3;  
Step3: 将  $S, f(u_i, A_i)$  排序, 把排名存入数组  $\text{order}[]$  (属性值相同则排名也相同), 然后  $S', f(u_i, A_i) = \text{order}[j]$ ;  
Step4: 如果  $S, A_i = d_{|D|}$ , 则转 Step5; 否则, 转 Step1;  
Step5: 结束, 输出  $S' = \langle U', A, V', f' \rangle$ 。

算法的 Step2 和 Step3, 在我们的实验中, 由于具体数据集的情况并没有执行。

**定义 4.2** 可排序的属性模式:  $O\text{Inf}_A(u) = \bigcup_{a \in C \cup D} \{ \langle a, f'(u, a) \rangle \}$ 。

属性模式的排序, 是指可排序的属性模式的排序。  $O\text{Inf}_c(u_i)$  和  $O\text{Inf}_c(u_j)$  之间的顺序通过如下算法 OrderPattern<sup>1</sup> 来确定。现在给出 OrderPattern 算法。

**算法: OrderPattern**

输入:  $S' = \langle U', A, V', f' \rangle$ ,  
 $OCAP\text{Table}(OCAP, O_{cap})$ ,  
 $ODAP\text{Table}(ODAP, O_{dap})$ ;  
输出:  $S_{op} = \langle U_{op}, A_{op}, V_{op}, f_{op} \rangle$ ;  
步骤:

Step0: 扫描  $S'$  得到每个属性取值的个数, 存入数组  $\text{Num}[]$ ; 初始化  $S_{op} = \langle U_{op}, A_{op}, V_{op}, f_{op} \rangle$ ; 第一次运行此算法时, 初始化  $OCAP\text{Table}(OCAP, O_{cap})$ ,  $ODAP\text{Table}(ODAP, O_{dap})$ ;  
Step1: 遍历每一个  $u_i \in U'$ , 重复 Step2 到 Step4;  
Step2: 计算  $S_{op}$  中:  
 $f_{op}(u_{opi}, OCAP_i) = \sum_{A_j \in C} f'(u_i, A_j) \text{Num}[j]$   
 $f_{op}(u_{opi}, DCAP_i) = \sum_{A_j \in D} f'(u_i, A_j) \text{Num}[j]$ ;  
Step3: 将  $f_{op}(u_{opi}, OCAP)$  和  $f_{op}(u_{opi}, ODAP)$  折半插入排序到  $OCAP\text{Table}$  和  $ODAP\text{Table}$  中;  
Step4: 把所有对象处理完毕, 遍历  $OCAP\text{Table}$  和  $ODAP\text{Table}$ , 并且按顺序赋值给  $O_{cap}$  和  $O_{dap}$ , 转 Step5; 否则, 转 Step1;  
Step5: 遍历  $S_{op}$ :  
 $f_{op}(u_{opi}, O_{cap_i}) = OCAP\text{Table}.O_{cap_i}$ ,  
 $f_{op}(u_{opi}, O_{dap_i}) = ODAP\text{Table}.O_{dap_i}$ ;  
Step6: 算法结束, 输出  $S_{op}$ 。

因此,  $O\text{Inf}_c(u_i)$  和  $O\text{Inf}_c(u_j)$  之间的顺序, 可以用  $S_{op}$  的 OCAP 值的大小来比较。

#### 4.3 基于信息表的 $\beta$ 增量计算

基于 4.2 节中的 OrderAttribute 和 Order-Pattern 算法, 我们给出增量计算  $\beta$  的算法 ICObeta。

**算法: ICObeta (Incremental Computation of  $\beta$ )**

输入: 信息表  $S$   
输出:  $\beta$   
步骤:

Step0: 如果是增量计算, 转 Step6;  
Step1:  $S' = \text{OrderAttribute}(S)$ ;  
Step2:  $S_{op} = \text{OrderPattern}(S')$ ;  
Step3: 遍历  $S_{op}$ : 将  $\text{count}(OCAP_i \wedge ODAP_j)$  填入  $\text{PatternIntersectionTable}[i][j]$  ( $|E(C)| * |E(D)|$  大小的矩阵); 将  $\text{count}(OCAP_i)$  填入  $\text{OCAPNumberTable}(|E(C)| * 1$  大小的矩阵);  
Step4: 计算 Su<sup>[5]</sup> 算法中的  $m_1$  和  $m_2$ , 得到  $\beta = \min(m_1, m_2)$ ;  
Step5: 如果没有增量数据, 转 Step10; 否则, 转 Step6;  
Step6:  $S' = \text{OrderAttribute}(S)$ ;  
Step7:  $S_{op} = \text{OrderPattern}(S')$ ;  
Step8: 遍历  $S_{op}$ : 将  $\text{count}(OCAP_i \wedge ODAP_j)$  增量填入的  $\text{PatternIntersectionTable}[i][j]$ ; 将  $\text{count}(OCAP_i)$  增量填入的  $\text{OCAPNumberTable}$ ;  
Step9: 计算 Su<sup>[5]</sup> 中的  $m_1$  和  $m_2$ , 得到  $\beta = \min(m_1, m_2)$ ;  
Step10: 结束, 输出  $\beta$ 。

#### 4.4 $\beta$ 增量计算的时间复杂度分析

首先做一些说明和假设: (1) 属性值是非负的离散型数值; (2) 条件属性个数为  $c$ , 决策属性个数为  $d=1$ , 条件属性模

式个数  $p_c$  (与  $c$  有关的一个变量), 决策属性模式个数  $p_d$  ( $p_d$  是一个常量); (3) 非增量的信息表对象个数  $n$ , 增量的信息表对象个数  $n'$ , 增量之后条件属性模式个数为  $p'_c$ , 决策属性模式个数为  $p'_d$ ; (4)  $c$  远小于  $n$ , 看作于  $n$  无关的常量; (5) 属性模式的排序使用折半插入排序的方法。

下面分析其中关键步骤的时间复杂度:

表 1 ICObeta 时间复杂度分析

算法步骤	时间复杂度	化简的时间复杂度
Step2	$O(cn+n\log n+n\log p_c+n)$	$O(n\log n)$
Step3	$O(n)$	$O(n)$
Step4	$O(p_c p_d)$	$O(p_c)$
Step7	$O(cn'+n'\log n'+n'\log p'_c+n')$	$O(n'\log n')$
Step8	$O(n')$	$O(n')$
Step9	$O(p'_c p'_d)$	$O(p'_c)$

因此, 在增量阶段, ICObeta 方法总时间复杂度为  $O(n'\log n')$ , 比非增量方法的时间复杂度  $O((n+n')\log(n+n'))$  低。

### 5 ICObeta 实验

实验采用 UCI 数据集的 1990 US Census 数据。1990 US Census 数据集, 共有 69 个属性, 26040 个对象。其中第一个属性是对象标识, 采用第 2 个到第 68 个属性作为条件属性, 第 69 个属性作为决策属性。实验中, 选取前 20500 个对象作为输入计算  $\beta$  值。实验环境中, JDK 版本是 1.5.0\_01, Matlab 版本是 6.5, 操作系统是 WindowsXP。

#### 5.1 实验目的

- (1) 通过非增量方法和 ICObeta 方法计算  $\beta$  值, 比较两种方法得到的  $\beta$  值是一致的, 证明 ICObeta 算法的正确性;
- (2) 通过统计程序中关键步骤的执行次数, 拟合曲线, 证明上文对于算法时间复杂度的分析是正确的;
- (3) 通过非增量方法和 ICObeta 关键步骤执行次数的比较, 证明 ICObeta 方法计算的高效性。

#### 5.2 实验结果

在实验结果图中, 实线表示非增量方法得到的值, 圆点表示 ICObeta 得到的值, 横坐标表示参加计算的对象个数。

(1) 图 1 所示, 纵坐标表示计算得到的  $\beta$  值。图 1 表明, ICObeta 方法计算所得的  $\beta$  值, 与非增量方法得到的  $\beta$  值是一样的, 这说明 ICObeta 方法是正确的。

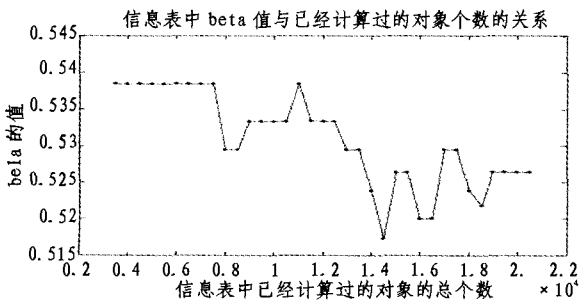


图 1 beta 值

(2) 如图 4 所示, 纵坐标表示计算  $\beta$  过程中关键步骤的执行次数。如表 2 所示, 给出了对计算时间复杂度进行曲线拟

合, 用麦夸特法拟合函数得到的结果:  $f(x) = ax \ln(x) + bx + c$ 。

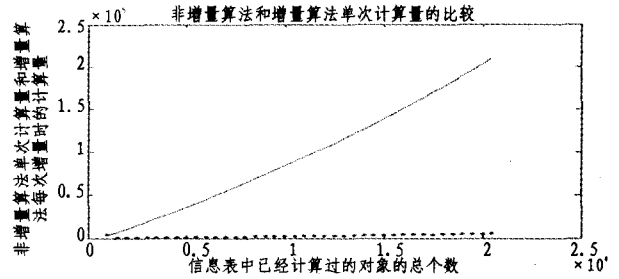


图 2 单次计算量对比

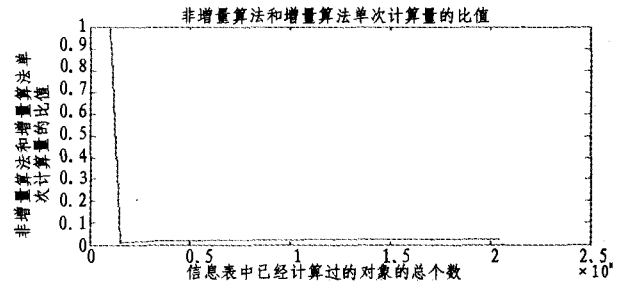


图 3 单次计算量的比值

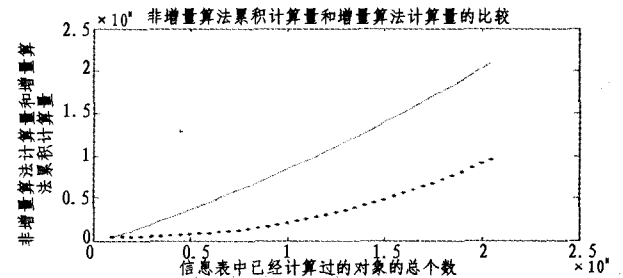


图 4 累积计算量的对比

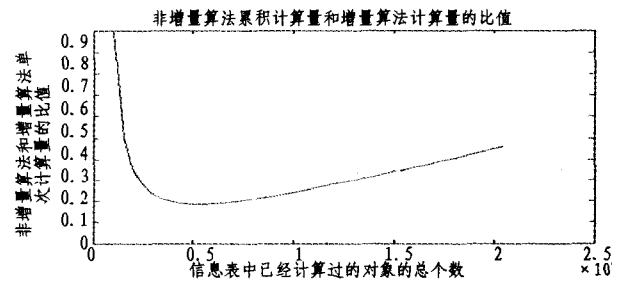


图 5 累积计算量的比值

表 2 非增量和增量计算复杂度曲线拟合

$f(x)$	a	b	c
非增量	2735.7	-17248.1	4838894.4
增量	4758.9	-43771.3	20299190.2

图 4 和表 2 表明, 非增量方法和 ICObeta 方法拟合的曲线, 与上文对于 ICObeta 计算时间复杂度的分析是一致的。

(3) 图 2 和图 4 所示, 纵坐标表示关键步骤的执行次数。图 3 和图 5 所示, 纵坐标表示 ICObeta 与非增量方法关键步骤执行次数的比值。图 2~5 说明了, ICObeta 的计算量远非非增量方法的计算量小, 证实了 ICObeta 方法的高效性。

(下转第 266 页)

需要对  $key$  做一下处理。我们令  $key = n + 1 - i$ , 对于所有的  $i \in [k + 1, n]$ ,  $key \in [1, n - k]$ , 然后同样令  $p = -\sigma(i) - b_2(\sigma(i))$ ,  $d = \sigma(i) + b_2(\sigma(i))$ , 这样插入  $(key, p, d)$  三元组之后, 对于给定  $k$ , 我们做 BoundedMin(BH2,  $n - k + 1$ ), 返回的就是我们需要的  $OPT_2(j)$ 。

#### 4.3 算法的伪代码实现

伪代码的第 1 行为预处理, 用于计算  $b_x(i)$ ,  $b_x(i, j)$ ,  $\Delta b_x(i)$ , 以及  $num_x(\gamma)$ 。 $num_x(\gamma)$  表示在序列  $x$  中  $\gamma$  的个数。我们将预先计算的表达式存于数组中, 便于将来常数时间内存取。

第 2 行, 对  $b_1(i) - b_2(i)$  做一个桶排序;

第 3 行建一棵 van Emde Boas 树  $T$ ,  $T$  的作用在于快速查询 4.1 节提到的分界点  $k$ 。

第 7~8 行, 建立两个限定堆 BH1 和 BH2。

第 14~28 行是算法的主循环, 这里我们对  $j$  遍历, 对每个  $j$  求得  $OPT(j)$ 。

第 29 行求对所有  $j$ ,  $OPT(j)$  的最大值。

### 5 时间和空间复杂度分析

#### 5.1 空间复杂度

我们用到的数据结构包括线性表、限定堆和 van Emde Boas 树, 空间复杂度都是  $O(n)$  的, 因此我们算法的总空间复杂度为线性。

#### 5.2 时间复杂度

我们针对图 2 所示的伪代码逐行分析算法的时间复杂度。

第 1 行预处理,  $b_x(i)$ ,  $b_x(i, j)$ ,  $\Delta b_x(i)$ ,  $num_x(\gamma)$  都可以比较容易地在线性时间内计算;

第 2 行, 桶排序, 同样是线性时间的算法;

第 4~6 行, 对 van Emde Boas 树  $T$  作了  $O(n)$  次 insert 操作, 时间复杂度为  $O(n \log \log n)$ ;

第 9~12 行, 在限定堆 BH1 和 BH2 上累计做了  $2n$  个 insert 操作, 时间复杂度为  $O(n \log \log n)$ ;

第 19~22 行, 在限定堆 BH1 和 BH2 上累计做了  $2n$  个 DecreasePriority 操作, 时间复杂度为  $O(n \log \log n)$ ;

第 24 行, 在 van Emde Boas 树  $T$  上做了  $n$  次 FindPrevious 操作, 时间复杂度为  $O(n \log \log n)$ ;

第 25~26 行, 在限定堆 BH1 和 BH2 上累计做了  $2n$  次 BoundedMin 操作, 时间复杂度为  $O(n \log \log n)$ ;

其余操作均为线性或常数的时间复杂度。

综上所述, 我们算法的总的时间复杂度为  $O(n \log \log n)$ 。

**结束语** 本文针对 Brodal 等人提出的 3 字符字母表上的最长公共弱递增字串(LCWIS)问题, 提出了一个新的时间复杂度为  $O(n \log \log n)$ , 空间复杂度为  $O(n)$  的算法。我们算法利用了 van Emde Boas 树和限定堆作为主要的数据结构, 时间和空间复杂度都是目前为止最好的。研究 LCWIS 问题, 对于进一步研究 LCS 和 LIS 问题都有理论价值, 并且在生物信息学上具有潜在应用价值。

尽管我们的算法时间复杂度是目前最好的, 但该问题时间复杂度的上界依然未知, 是否存在该问题的线性算法也未知。而对于该问题的扩展, 4 字母或更多字母字符表上的 LCWIS 是否存在同样高效的算法等问题, 依然需要进一步的研究。

### 参考文献

- 1 Wagner R A, Fischer M J. The string-to-string correction problem. J ACM, 1974, 21(1): 168~173
- 2 Masek W J, Paterson M S. A faster algorithm computing string edit distances. J Comput System Sci, 1980, 20(1): 18~31
- 3 Schensted C. Longest increasing and decreasing subsequences. Canad J Math, 1961, 13: 179~191
- 4 Knuth D E. Sorting and searching. In: The Art of Computing Programming, Vol 3. Reading, MA: Addison-Wesley, 1973
- 5 Fredman M L. On computing the length of longest increasing subsequence. Discrete Mathematics, 1975, 11(1): 29~35
- 6 Yang I-H, Huang C-P, Chao K-M. A fast algorithm for computing a longest common increasing subsequence. Information Processing Letters, 2005, 93(5): 249~253
- 7 Chan W-T, Zhang Y, Fung S P Y, et al. Efficient algorithms for finding a longest common increasing subsequence. Journal of Combinatorial Optimization, 2007, 13(3): 277~288
- 8 Brodal G S, Kaligosi K, Katriel I. Faster Algorithms for computing longest common increasing subsequences. In: 16th Annual International Symposium on Algorithms and Computation (ISAAC), Henan, China, 2005
- 9 Van Emde Boas P, Kaas R, Zijlstra E. Design and implementation of an efficient priority queue. Theory of Computing Systems, 1977, 10(1): 99~127

(上接第 230 页)

**结论** 本文提出了一个满足信息表最大确定性度量标准的选择  $\beta$  的增量算法 ICObeta, 定理 3.1 保证了 ICObeta 方法满足了信息表确定性度量的标准, 实验结果证实了 ICObeta 的正确性和高效性。这种  $\beta$  选取方法, 避免了先验知识对于  $\beta$  选取的干扰, 能够让我们摆脱先验知识不足的束缚, 高效的获取合适的  $\beta$  值。进一步的工作, 将主要考虑信息表约简, 以及规则生成的增量方法展开。

### 参考文献

- 1 Pawlak Z. Rough Sets. International Journal of Information and Computer Sciences, 1982, 11(5): 341~356
- 2 张文修, 吴伟志, 梁吉业, 李德玉. 粗糙集理论与方法. 北京: 科学出版社, 2001
- 3 Ziarko W. Variable precision rough set model. Journal of Computer and System Science, 1993, 46: 39~59
- 4 Beynon M. Reducts within the variable precision rough sets mod-

el; a further investigation. European Journal of Operational Research, 2001, 134(3): 592~605

- 5 Su Chao-Ton, Hsu Jyh-Hwa. Precision parameter in the variable precision rough sets model; an application. The International Journal of Management Science, 2006, 34(2): 149~157
- 6 Cheng Yusheng, Zhang Yousheng, Hu Xuegang. The Relationships Between Variable Precision Value and Knowledge Reduction Based on Variable Precision Rough Set Model. RSKT2006, Berlin: Springer-Verlag, Lecture Notes in Computer Science, 2006
- 7 An A, Shan N, Chan C, Cercone N, Ziarko W. Discovering rules for water demand prediction; an enhanced rough-set approach. Engineering Applications in Artificial Intelligence, 1996, 9(6): 645~653
- 8 Slezak D, Ziarko W. Variable Precision Bayesian Rough Set Model. Lecture notes in computer science, 2003, 2639: 312~315
- 9 Inuiguchi M, Miyajima T. Variable Precision Rough Set Approach to Multiple Decision Tables. Lecture notes in computer science, 2005, 3641: 304~313